

МГНОВЕННЫЕ СПЕКТРЫ ДЕВЯТИ ВНЕГАЛАКТИЧЕСКИХ  
ИСТОЧНИКОВ, ПОЛУЧЕННЫЕ НА РАДИОТЕЛЕСКОПЕ  
РАТАН-600, И ПЕРСПЕКТИВЫ ОБНАРУЖЕНИЯ  
В НИХ РЕКОМБИНАЦИОННЫХ ЛИНИЙ  
ВОЗБУЖДЕННОГО ВОДОРОДА В ПОГЛОЩЕНИИ

З. В. Дравских

Приведены спектры девяти внегалактических источников, полученные на радиотелескопе РАТАН-600 одновременно на шести частотах (в диапазоне 1.35—31 см). На основании этих спектров выбраны наиболее подходящие кандидаты для поиска рекомбинационных линий возбужденного водорода в поглощении.

The spectra of 9 extragalactic sources are presented. They are obtained with the RATAN-600 simultaneously at 6 frequencies (in diapason 1.35—31 cm). Using these spectra the most suitable candidates for search for recombination lines of excited hydrogen in absorption are selected.

В работе [1] указывалось, что в компактных радиоисточниках, отождествляемых с галактиками и квазарами и имеющих спектры с точкой перегиба  $\nu_0$  в области сантиметровых волн, на этих волнах могут быть обнаружены рекомбинационные линии водорода в поглощении, если завал спектральной характеристики обусловлен поглощением синхротронного излучения компактного источника ионизованным водородом, расположенным около источника. Было показано, что линии надо искать в ярких источниках с точкой перегиба  $\nu_0$  в области высоких частот ( $> 5$  ГГц).

Самое трудное — не спутать эффект поглощения в зоне НII вокруг ядра галактики (квазара) с эффектом самопоглощения оптически толстых синхротронных источников. Основные различия этих двух групп источников приведены в табл. 1, из которой видно, что «идеальным» для поиска рекомбинационных радиолиний является источник с очень крутым завалом спектра ( $\alpha > 2.5$ ) на частотах ниже точки перегиба, с яркостной температурой  $T_b < 10^{12}$  К, не переменный, имеющий ощущимую линейную поляризацию.

В спектрах радиоисточников, приводимых в различных каталогах, спектральные плотности потоков на разных частотах, как правило, относятся к разным эпохам наблюдений, а так как компактные источники в большинстве являются переменными во времени, эти спектральные характеристики не являются истинными для какой-либо данной эпохи. Поэтому для выбора источников, подходящих для обнаружения рекомбинационных линий водорода в поглощении, необходимо иметь «мгновенный» спектр, т. е. иметь значения спектральных плотностей потоков на разных частотах, полученные одновременно. Возможность получать такие спектры дает радиотелескоп РАТАН-600. По каталогу [4] было отобрано 9 внегалактических источников, обладающих в большей или меньшей степени требуемыми характеристиками, из них 7 — квазизвездные источники 0106+01, 0229+13, 0420-01, 1244-255, 1641+39, 2121+05 и 2255-28, одна радиогалактика 3C111 и источник 1622-25, расположенный в направлении с сильным поглощением, так что его красное смещение неизвестно [5]. Для источников 1244-255, 1622-25 и 2255-28 не было измерений спектральной плотности потока в диапазоне 5—30 ГГц, а для источника 2121+05 спектральная плотность потока была измерена только до частоты 10.5 ГГц.

В первой декаде января 1982 г. на радиотелескопе РАТАН-600 получены «мгновенные» спектры этих источников одновременно на 6 частотах — 0.97,

ТАБЛИЦА 1

Характеристики источника	Источники с синхротронным самопоглощением (однородные, стационарные, с однородным магнитным полем, со степенным распределением электронов по энергиям)	Источники с тепловым поглощением в холодной плазме (зоне НП)
Спектральная плотность потока на частотах $\nu < \nu_0$ [2]	$S \sim \nu^{2.5}$	<ol style="list-style-type: none"> <li><math>S \sim \nu^\alpha e^{-\nu_0} (\nu)^{2.1} \sim \nu^\alpha e^{-\tau_\nu}</math>, если поглащающая плазма находится между источником и наблюдателем (спектр круче, чем 2.5)</li> <li><math>S \sim \nu^{\alpha+2}</math>, если плазма в самом источнике <math>&lt; 10^{12}</math></li> </ol>
Яркостная температура $T_b$ , К в районе $\nu_0$ Переменность поляризации на частотах $\nu < \nu_0$ [3]	<p><math>\sim 10^{12}</math></p> <p>Скорее всего, есть Слабая линейная, равная <math>\frac{3}{6\gamma + 13} \approx 10\%</math> (<math>\gamma</math> — спектральный индекс в энергетическом спектре электронов). На частоте завала спектра степень поляризации равна нулю. Слабая круговая, на частоте <math>\nu \approx \nu_0</math> степень поляризации равна нулю</p>	<p>Скорее всего, нет</p> <ol style="list-style-type: none"> <li>Если плазма находится между синхротронным источником и наблюдателем, степень линейной поляризации, как в оптически тонком синхротронном источнике, <math>\frac{3\gamma + 3}{3\gamma + 7}</math> и может достигать 70%, только позиционный угол вектора поляризации испытывает фарадеевское вращение</li> <li>Если плазма в самом источнике, фарадеевское вращение может приводить к изменению степени поляризации, когда для излучений с разных уровней внутри источника углы поворота плоскости поляризации существенно различаются</li> </ol>

3.66, 3.95, 7.70, 14.42, 21.74 ГГц, т. е. в диапазоне от 1.35 до 31 см. В качестве опорных источников использовались: на низких углах — источник 0237—23, на средних — 3С161 и 2128—05, на высоких — 3С286. Данные о радиометрах приведены в [6]. На волне 7.6 см (3.95 ГГц) использовался новый высокочувствительный радиометр ( $\delta T = 0.0025$  К при  $\tau = 1$  с и  $\Delta f = 0.5$  ГГц). Полученные на радиотелескопе РАТАН-600 спектры приведены на рис. 1 и в табл. 2 (крестиками отмечены спектральные плотности потоков из [4]). Большинство из них обнаруживает отличие от ранее полученных для других эпох. Спектральные плотности потоков на частотах  $\nu < \nu_0$  в основном подчиняются закону  $S \sim \nu^{\alpha+2}$ , т. е. случаю, когда плазма находится внутри источника синхротронного излучения. Из этих рисунков видно, что в источниках 0229+13, 0420—01, 1244—255 и 2255—28 можно ожидать линии поглощения в диапазоне 5—15 ГГц, а источник 1641+39 (3С345) может быть использован для исследования рекомбинационных линий в диапазоне 22 ГГц. Хотя источник 1622—25 и имеет подходящую спектральную характеристику, его красное смещение неизвестно, что затрудняет поиск рекомбинационных линий.

В табл. 3 приведены параметры ожидаемых линий водорода от всех этих источников и от двух деталей («5 ГГц» и «20 ГГц») в ядре сейфертовской галактики 3С84 ( $z=0.018$  [4]), «мгновенный» спектр которой получен на радиотелескопе РАТАН-600 на эпоху 1981.8 [7] (рис. 2, §). Расчеты проведены для наблюдений на 100-м Эффельсбергском телескопе (ФРГ) в предположении, что разброс турбулентных скоростей в газовых оболочках около источников составляет  $\Delta v_t = 200$  км/с [8]. Из таблицы видно, что линии легко могут быть обнаружены в источниках 3С345 и 3С84. Структура обоих этих источников хорошо изучена

ТАБЛИЦА 2

$\nu$ , ГГц	0106+01			0229+13			3C111			0420-01			1244-25			1622-25			1644+39			2121+05			2255-28		
	$S$	$\delta S$	$s$	$\delta s$	$S$	$\delta S$	$S$	$\delta S$	$S$	$\delta S$	$S$	$\delta S$	$S$	$\delta S$	$S$	$\delta S$	$S$	$\delta S$	$S$	$\delta S$	$S$	$\delta S$	$S$	$\delta S$			
0.967	4.06	0.35	2.00	0.30	—	—	1.39	0.26	1.52	0.25	2.40	0.50	14.04	1.07	2.66	0.30	1.88	0.27	—	—	—	—	—	—			
3.656	5.43	0.20	2.47	0.42	4.35	0.06	3.39	0.45	1.94	0.44	1.35	0.40	8.71	0.29	2.35	0.40	2.00	0.45	—	—	—	—	—	—			
3.945	4.86	0.45	1.96	0.08	—	—	3.27	0.12	1.70	0.12	1.45	0.08	8.80	0.30	2.01	0.08	1.90	0.44	—	—	—	—	—	—			
7.689	4.49	0.30	2.64	0.47	1.28	0.09	4.44	0.23	2.31	0.45	0.69	0.09	14.09	0.82	1.93	0.46	2.74	0.25	—	—	—	—	—	—			
14.443	3.67	0.30	2.42	0.20	0.99	0.45	5.00	0.49	2.61	0.44	0.81	0.25	18.35	1.36	4.12	0.42	0.60	0.67	—	—	—	—	—	—			
21.724	4.02	0.35	1.55	0.28	1.38	0.35	3.07	1.44	1.44	0.41	2.09	0.55	22.68	3.54	—	—	—	—	3.77	0.40	—	—	—	—			

П р и м е ч а н и е.  $\nu$  — частота наблюдений;  $S$  — спектральная плотность потока, Ян;  $\delta S$  — среднеквадратическая ошибка, Ян.

ТАБЛИЦА 3

Источник	$z$	$\gamma_0$ , Гц	$T_{\text{ант}}$ , К	Линия	$\gamma_{\text{наб}, \text{ГП}}$	$\Delta\gamma_{\text{наб}}$ , МГц	$T_{\text{ант}}^{\text{л}}$ , К	$\tau$ , с
0229+13 0316+41 (3C84)	2.065 0.018	6 16	4.5 50	H70 H66	$6.4237 \pm 0.0020$ $24.9688 \pm 0.0216$	4.0 14.5	-0.07 -0.39	625 0.5
0420-01 1244-255	0.945 0.633	10 11	8.5 4.5	H70 H74	$4.7880 \pm 0.0047$ $9.8011 \pm 0.0054$	5.5 6.5	-0.37 -0.18	1.5 5
1644+39 (3C345) 2255-28	0.595 0.926	20 10	20 25 6	H57 H74 H69	$9.7399 \pm 0.0059$ $21.6906 \pm 0.0136$ $9.9719 \pm 0.0063$ $10.1719 \pm 0.0053$	6.5 14.5 6.5 6.5	-0.03 -0.50 -0.97 -0.07	154 0.5 0.2 30

П р и м е ч а н и е.  $z$  — величина красного смещения;  $\gamma_0$  — наблюдаемая частота точки перегиба;  $T_{\text{ант}}$  — ожидаемая температура в непрерывном спектре;  $\gamma_{\text{наб}}^{\text{л}}$  — наблюдаемая частота линии;  $\Delta\gamma_{\text{наб}}$  — наблюдаемая доплеровская ширинка линии;  $T_{\text{ант}}^{\text{л}}$  — ожидаемая антenna температура линии;  $\tau$  — постоянная времени наблюдения для обнаружения линии при отношении сигнала/шум = 5;  $T_{\text{ант}}^{\text{л}}$ , шум = 100 К, после анализа, равной доплеровской ширине линии для  $\Delta v_i = 200$  км/с и при условии, что все наблюдаемое в непрерывном спектре поглощение обусловлено ионизованным водородом.

с помощью интерферометрических измерений. Источник 3C345 — квазар с красным смещением  $z=0.595$  [9]. Излучение на волне 1.35 см в основном приходит из области  $\leq 0.^{\circ}0001$  с яркостной температурой  $\sim 5 \cdot 10^{11}$  К [10]. Расчеты проведены для двух моделей (двухкомпонентной — рис. 2, а и трехкомпонентной — рис. 2, б [11, 12]) для детали с точкой перегиба в диапазоне  $\sim 20$  ГГц. Результаты для обеих моделей практически совпадают. Ядро галактики 3C84,

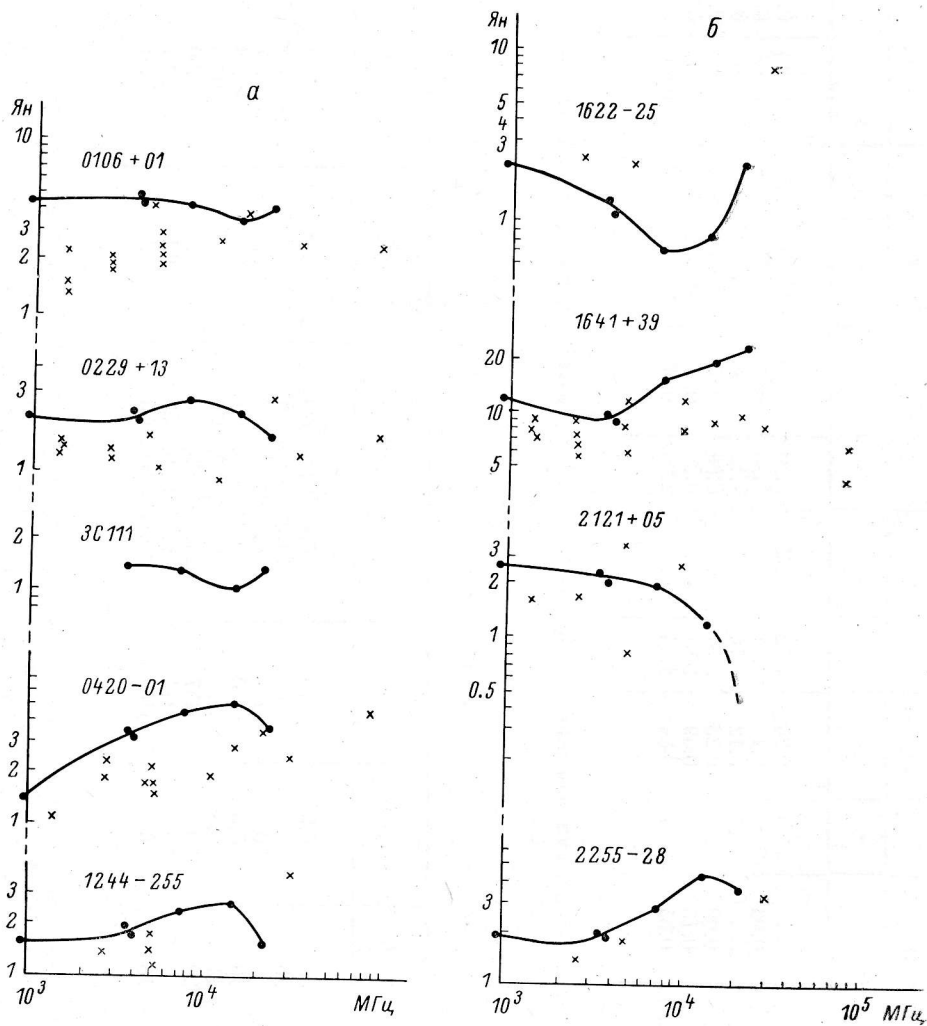


Рис. 1.

согласно [13], состоит из восточной и западной систем деталей с компонентами  $\leq 0.^{\circ}0002$  и яркостной температурой  $\sim 7 \cdot 10^{11}$  К. Из наблюдений на 2.8 и 1.35 см восточная система имеет спектральный индекс  $\alpha \approx 4.5$ , что существенно больше спектрального индекса (2.5), обусловленного синхротронным самопоглощением. Наблюдаемое отличие спектрального индекса может быть связано с поглощением синхротронного излучения компонент этой детали тепловыми электронами. Оценена средняя плотность электронов поглощающей газовой оболочки  $N_e \approx (3 \div 7) \cdot 10^4$  см<sup>-3</sup>. Согласно спектральным оптическим данным [14], ядро 3C84 окружено газовой оболочкой с плотностью электронов  $N_e \approx 10^6$  см<sup>-3</sup>, т. е. из радио- и оптических наблюдений следует, что в ядре 3C84 имеется газовая оболочка.

Если поглощение ионизованным водородом составляет только часть наблюдаемого в континууме, время наблюдений должно быть соответственно увеличено. Уширение линий из-за штарк-эффекта незначительно.

Для наблюдений этих линий необходимы широкополосные спектрографы с полосами анализа 100 МГц и более, так как наблюдаемые частоты линий в диапазоне 1.35 см известны с точностью 15—20 МГц ( $z$  определено до третьего знака), а ширины линий по нулям  $\geq 30$  МГц.

Автор выражает благодарность Н. С. Соболевой, без которой эти наблюдения не могли быть выполнены, Ю. Н. Парийскому за постоянную помощь в работе, Н. Е. Гольневой и Г. В. Ефановой за помощь в обработке результатов, а также наблюдателям на РАТАНе.

#### Литература

1. Дравских З. В., Парицкий Ю. Н. О рекомбинационных линиях возбужденного водорода в компактных радиоисточниках, связанных с галактиками и квазарами. — Астрофиз. исслед. (Изв. САО), 1981, 58, с. 486—489.
2. Ленг К. Астрофизические формулы. М.: Мир, 1978, ч. 1.
3. Пахольчик А. Радиогалактики. М.: Мир, 1980.
4. A catalogue of radio sources / H. Kuhr, U. Nouber, I. I. K. Pauliny-Toth, A. Witzel. — Astron. Astrophys. Suppl. Ser., 1981, 45, 3, p. 367—430.
5. Shimmmins A. J., Bolton J. G. Flux densities at 8.87 GHz of 347 small-diameter radio sources. — Austr. J. Phys., 1981, 34, p. 471—491.
6. Мгновенный спектр 3C84 по наблюдениям на 16 частотах на РАТАН-600 / А. Б. Берлин, В. Я. Гольнев и др. — Письма в АЖ, 1980, 6, № 10, с. 617—619.
7. Радиоспектр 3C84 на эпоху 1981.8 / В. М. Богод, М. Н. Наугольная и др. — Астрофиз. исслед. (Изв. САО), 1982, 17, с. 59—62.
8. Bell M. B., Seaqvist E. R. Radio recombination line studies of M82 and other galaxies. — Astrophys. J., 1978, 223, p. 378—385.
9. Buibidge G. R., Crowne A. H., Smith H. E. An optical catalogue of quasi-stellar objects. — Astrophys. J. Suppl. Ser., 1977, 33, p. 113—188.
10. High resolution observations of the QSO 3C345 at 1.3 centimeters / I. I. K. Pauliny-Toth, K. I. Kellerman et al. — Astrophys. J., 1981, 248, p. L123—L126.
11. The compact radio sources in 4C39.25 and 3C345 / D. B. Shaffer, K. I. Kellerman, G. H. Purcell et al. — Astrophys. J., 1977, 218, p. 353—360.
12. Pauliny-Toth I. I. K. Compact radio sources. — In: Origin of cosmic rays / G. Setti, G. Spada, and A. W. Wolfendale (eds), 1981, p. 127—137.
13. Структура ядра сейфертовской галактики NGC 1275 / Л. И. Матвеенко, К. И. Келлерман и др. — Письма в АЖ, 1980, 6, № 2, с. 77—86.
14. Дибай Э. А. Некоторые свойства ядра радиогалактики NGC 1275 (Персей А). — Астрон. ж., 1969, 46, с. 725—729.

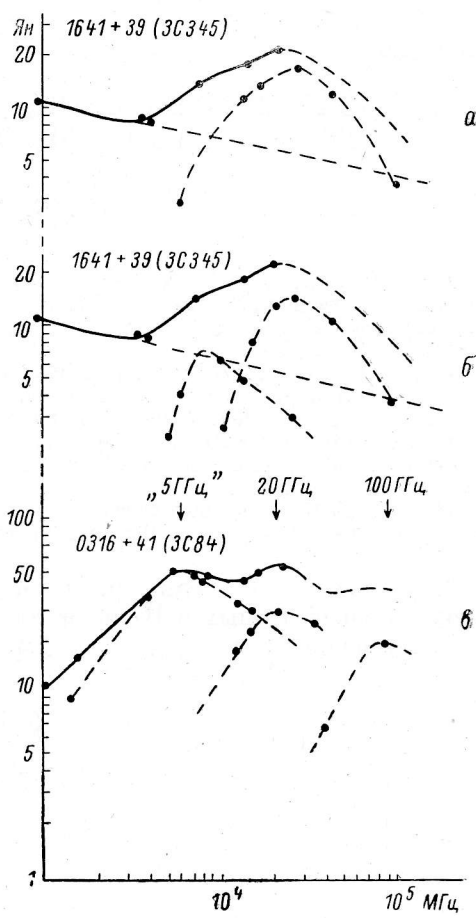


Рис. 2.

Поступила в редакцию 13.05.82